

# 共沉淀法制备的 CuGa<sub>2</sub>O<sub>4</sub> 及其气敏性能

高翠萍<sup>1</sup> 汪艳<sup>1</sup> 储向峰<sup>\*1</sup> 梁士明<sup>\*2</sup> 高奇<sup>1</sup> 李学<sup>1</sup>

(<sup>1</sup>安徽工业大学化学与化工学院,马鞍山 243032)

(<sup>2</sup>临沂大学材料科学与工程学院,临沂 276005)

**摘要:**采用共沉淀法制备了 CuGa<sub>2</sub>O<sub>4</sub> 粉体,采用 X 射线衍射(XRD)、扫描电镜(SEM)、X 射线光电子能谱(XPS)等对 CuGa<sub>2</sub>O<sub>4</sub> 粉体进行了表征。研究了热处理温度和 pH 对 CuGa<sub>2</sub>O<sub>4</sub> 粉体气敏性能的影响,实验结果表明热处理温度为 800 ℃,pH=6.00(热处理 4 h)条件下制备出的 CuGa<sub>2</sub>O<sub>4</sub> 粉体,在室温下( $18\pm2$ )℃对三甲胺(TMA)具有较好的气敏选择性和较高灵敏度,对 1 000  $\mu\text{L}\cdot\text{L}^{-1}$  的 TMA 的灵敏度达到 310.1,响应和恢复时间分别约为 590 和 80 s,对 1  $\mu\text{L}\cdot\text{L}^{-1}$  的 TMA 的灵敏度可达到 1.3。

**关键词:**CuGa<sub>2</sub>O<sub>4</sub>; 气敏性能; 共沉淀法; 三甲胺

中图分类号: O614.121; O614.37<sup>+1</sup>

文献标识码: A

文章编号: 1001-4861(2019)01-0059-06

DOI: 10.11862/CJIC.2019.005

## Preparation and Gas-Sensing Properties of CuGa<sub>2</sub>O<sub>4</sub> by Co-precipitation Method

GAO Cui-Ping<sup>1</sup> WANG Yan<sup>1</sup> CHU Xiang-Feng<sup>\*1</sup> LIANG Shi-Ming<sup>\*2</sup> GAO Qi<sup>1</sup> LI Xue<sup>1</sup>

(<sup>1</sup>School of Chemistry and Chemical Engineering, Anhui University of Technology, Maanshan, Anhui 243032, China)

(<sup>2</sup>School of Materials Science and Engineering, Linyi University, Linyi, Shandong 276005, China)

**Abstract:** CuGa<sub>2</sub>O<sub>4</sub> powders were prepared by co-precipitation method and characterized by X-ray diffraction (XRD), scanning electron microscope (SEM), X-ray photoelectron spectroscopy (XPS), etc. The effect of heat treatment temperature and pH on the gas sensing properties of CuGa<sub>2</sub>O<sub>4</sub> powders was investigated. The results indicated that CuGa<sub>2</sub>O<sub>4</sub> powders prepared by calcining at 800 ℃ for 4 h and pH=6.00 exhibited good gas sensing selectivity and high sensitivity to trimethylamine (TMA) at room temperature ( $18\pm2$ )℃. The responses to 1 000 and 1  $\mu\text{L}\cdot\text{L}^{-1}$  TMA reached 310.1 and 1.3, respectively, and the response and recovery times for 1 000  $\mu\text{L}\cdot\text{L}^{-1}$  TMA were 590 and 80 s.

**Keywords:** CuGa<sub>2</sub>O<sub>4</sub>; gas sensing properties; co-precipitation method; trimethylamine

## 0 引言

金属氧化物作为气敏材料已经被大量的报道,研究中发现这些氧化物半导体存在着许多不足,例如灵敏度较低、选择性不好、部分电阻偏大等。近年来,人们发现具有特定结构的尖晶石型复合氧化物(AB<sub>2</sub>O<sub>4</sub>)有良好的气敏特性<sup>[1]</sup>。Singh 等<sup>[2]</sup>通过溶胶-凝胶法合成的纳米 ZnFe<sub>2</sub>O<sub>4</sub> 在室温下对液化石油气

(LPG)有很好的气敏性能。Rao 等<sup>[3]</sup>通过喷雾热解法制备 Cu<sup>2+</sup>掺杂的纳米 NiFe<sub>2</sub>O<sub>4</sub>,发现 1%(w/w) Cu<sup>2+</sup>掺杂纳米 NiFe<sub>2</sub>O<sub>4</sub> 不仅提高了材料对乙醇的灵敏度而且降低了工作温度。近些年,尖晶石型含镓复合氧化物也有相关的报道,但是有关 CuGa<sub>2</sub>O<sub>4</sub> 气敏材料的文献较少。本实验室 Chu 等<sup>[4]</sup>通过共沉淀法制备了 NiGa<sub>2</sub>O<sub>4</sub> 纳米粉体,发现在 600 ℃热处理 6 h 得到的纳米 NiGa<sub>2</sub>O<sub>4</sub> 在室温下和 413 ℃下分别对

收稿日期:2018-07-04。收修改稿日期:2018-10-19。

国家自然科学基金(No.61671019)资助项目。

\*通信联系人。E-mail:maschem@sohu.com,lsmwind@163.com

TMA 和乙醇具有较高的灵敏度。Chen 等<sup>[5]</sup>通过高能球磨法制备了 ZnGa<sub>2</sub>O<sub>4</sub> 粉体,发现在 240 ℃下对 NO<sub>2</sub> 表现出较好的选择性和灵敏度。Satyanarayana 等<sup>[6]</sup>采用传统的固相法制备的 ZnGa<sub>2</sub>O<sub>4</sub> 粉体在 320 ℃下对 LPG 有较好的选择性。Biswas 等<sup>[7]</sup>通过溶胶-凝胶法合成的纳米 CuGa<sub>2</sub>O<sub>4</sub> 在 350 ℃下分别对 H<sub>2</sub>、NH<sub>3</sub> 和 LPG 具有最大的灵敏度,但其选择性较差且工作温度较高。以上文献表明,材料的气敏性能与材料的制备方法和制备条件密切相关,为了提升 CuGa<sub>2</sub>O<sub>4</sub> 材料的气敏选择性和降低工作温度,本文用共沉淀法制备 CuGa<sub>2</sub>O<sub>4</sub> 粉体,并研究了材料对 TMA 等 7 种常见气体的气敏性能,发现所制备的材料对 TMA 有较好灵敏度和选择性。

## 1 实验部分

### 1.1 试 剂

氧化镓(株洲市鸿旭实业有限公司、AR),硝酸(溧阳市东方化学试剂有限公司、AR),盐酸(溧阳市东方化学试剂有限公司、AR),五水合硫酸铜(上海凌峰化学试剂有限公司、AR),氢氧化钠(国药集团化学试剂有限公司、AR),无水乙醇(国药集团化学试剂有限公司、AR),去离子水(实验室自制)。

### 1.2 CuGa<sub>2</sub>O<sub>4</sub> 的制备

硝酸镓水溶液的制备参考徐会青等<sup>[8]</sup>的专利中硝酸镓的制备方法:取 3 mL 浓硝酸加入到 100 mL

烧杯中,再加入 9 mL 浓盐酸,混合后将该混合液倒入 150 mL 圆底烧瓶中,称取 3.133 4 g 氧化镓粉末加入上述混合液中,搅拌 5 min,然后添加 10 mL 去离子水,将温度加到 90 ℃,回流 3.2 h 即可得到透明的硝酸镓溶液。

按 Cu<sup>2+</sup> 和 Ga<sup>3+</sup> 物质的量之比为 1:2 制备 CuGa<sub>2</sub>O<sub>4</sub> 粉体。称取一定量的 CuSO<sub>4</sub>·5H<sub>2</sub>O 加入到制备好的硝酸镓水溶液中,搅拌使其充分溶解,用氢氧化钠溶液调节该溶液的沉淀终点 pH 值,随后进行抽滤,所得沉淀物依次用去离子水、无水乙醇交替洗涤 6 次后,放入烘箱(80 ℃)烘 12 h,得淡蓝色前驱体,将前驱体充分研磨备用。所得前驱体分别于 700、800 和 900 ℃热处理 4 h 得 CuGa<sub>2</sub>O<sub>4</sub> 粉体(升温速率 10 ℃·min<sup>-1</sup>)。

### 1.3 气敏元件的制作及气敏测试装置

取适量 CuGa<sub>2</sub>O<sub>4</sub> 粉体放于研钵中,并加入适量的粘合剂(聚乙烯醇),充分研磨后,将其均匀地涂在 Al<sub>2</sub>O<sub>3</sub> 管的外壁上,制成旁热式气敏元件(图 1a),Ni-Cr 丝作为加热丝穿插在 Al<sub>2</sub>O<sub>3</sub> 管内,焊接好的气敏元件如图 1b 所示,测气敏性能的实验装置如图 1c 所示。通过调节加热丝两端功率来控制工作温度,元件的灵敏度 S 定义为:

$$S = R_a / R_g$$

(R<sub>a</sub>、R<sub>g</sub> 分别为元件在空气中和被测气体中的稳定阻值)。

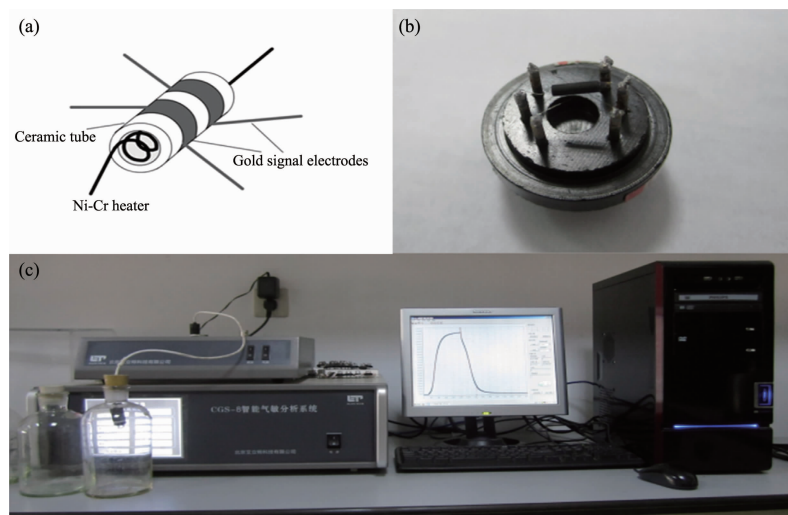


图 1 气敏元件及测试实验装置图

Fig.1 Schematic illustration of sensor structure and diagram of experimental setup

### 1.4 材料的测试表征

使用 X 射线衍射仪(Bruker D8 Advance)对材料的相组成进行了分析,以 Cu K $\alpha$  为辐射源( $\lambda=$

0.154 056 nm),工作电压为 40 kV,电流为 30 mA,扫描范围为 10°~80°,扫描速率为 15 °·min<sup>-1</sup>。通过扫描电子显微镜观察材料的微观结构(SEM, Hitachi

S-4800), 加速电压为 10 kV。样品 X 射线光电子能谱(XPS)在 Thermo ESCALAB 250XI 上进行测定。粒径分布在纳米粒度仪(马尔文 ZS90)上进行了测试。

## 2 结果与讨论

### 2.1 材料的相组成分析

图 2 是热处理 4 h 得到的 CuGa<sub>2</sub>O<sub>4</sub> 粉体的 XRD 图, 从图中可知, 各衍射峰的位置与标准图(PDF No.44-0183)相吻合, 且无其它杂峰。图 2(a)是 pH=6.00, 热处理温度分别为 700、800 和 900 ℃得到的 CuGa<sub>2</sub>O<sub>4</sub> 粉体的 XRD 图, 当热处理温度为 700 ℃时, 镍酸铜基本成相, 但衍射峰强度较弱; 当热处理温度分别升至 800 和 900 ℃时, 衍射峰强度增加且峰型变得尖锐, 这说明镍酸铜结晶趋于完全。图 2

(b) 是热处理温度为 800 ℃, pH 值分别为 5.00、6.00 和 7.00 时得到的 CuGa<sub>2</sub>O<sub>4</sub> 粉体的 XRD 图, 从图中可知镍酸铜晶体都已成相, 且衍射峰强度基本相同。用谢乐(Scherrer)公式:

$$D=K\lambda/(B\cos\theta)$$

式中  $D$  为晶粒的尺寸 (nm);  $K$  为 Scherrer 常数 ( $K=0.89$ );  $\lambda$  为 X 射线波长( $\lambda=0.154\text{ }056\text{ nm}$ );  $B$  为衍射峰的半高宽度, 需转化为弧度制;  $\theta$  为衍射角。通过计算可得热处理温度分别为 700、800 和 900 ℃时, 晶体的平均粒径分别为 16、28 和 45 nm。当热处理温度为 800 ℃, pH 值分别为 5.00、6.00 和 7.00 时, 晶体的平均粒径均为 28 nm。根据 XRD 的测试结果可知, 不论是热处理温度的增加, 还是 pH 值的变化, 都能得到纯相镍酸铜。

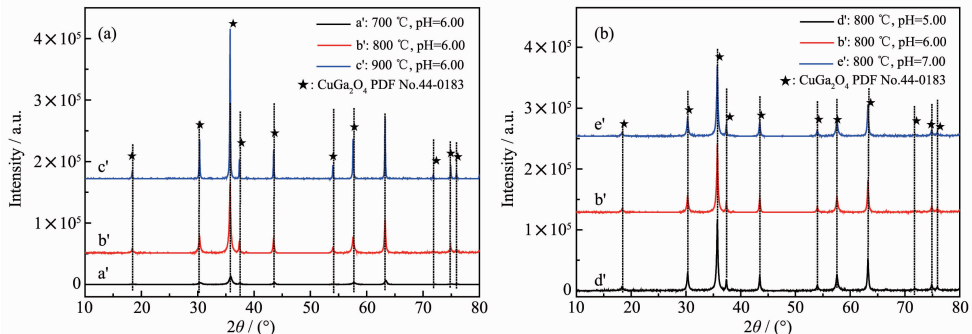


图 2 在不同(a)热处理温度(pH=6.00)和(b)沉淀终点 pH 值(800 ℃)下制备的 CuGa<sub>2</sub>O<sub>4</sub> 粉体的 XRD 图

Fig.2 XRD patterns of CuGa<sub>2</sub>O<sub>4</sub> powders obtained from different (a) calcinations temperatures (pH=6.00) and (b) pH values (800 ℃)

### 2.2 材料的微结构分析

图 3(a~c)和 3(d~f)是分别在热处理温度为 700、

800 和 900 ℃(pH=6.00)条件下得到的 CuGa<sub>2</sub>O<sub>4</sub> 粉体的形貌和粒径分布图。从 SEM 图中能够看出制备

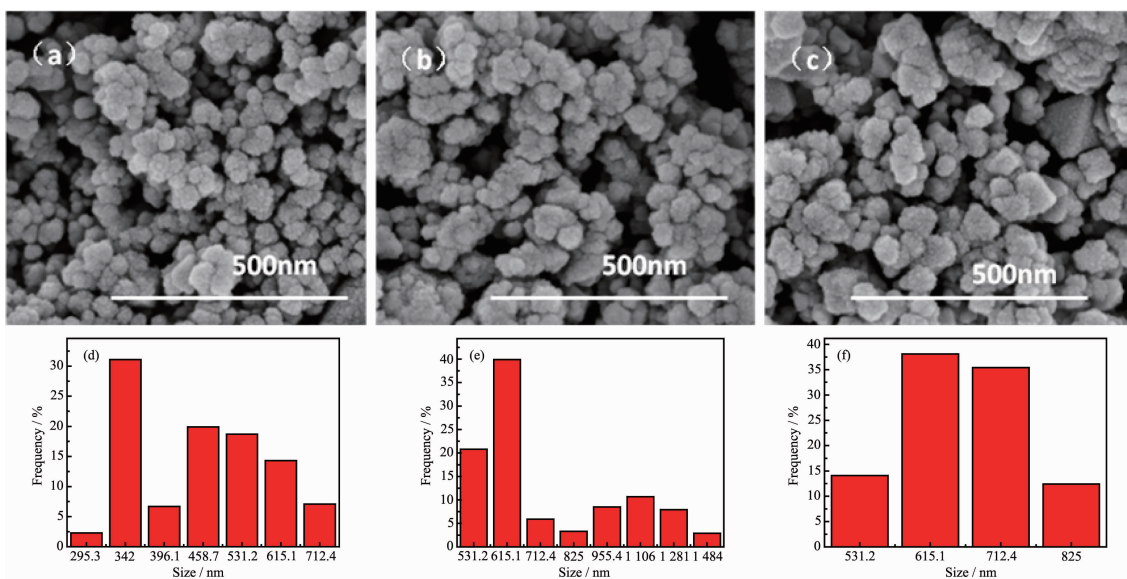


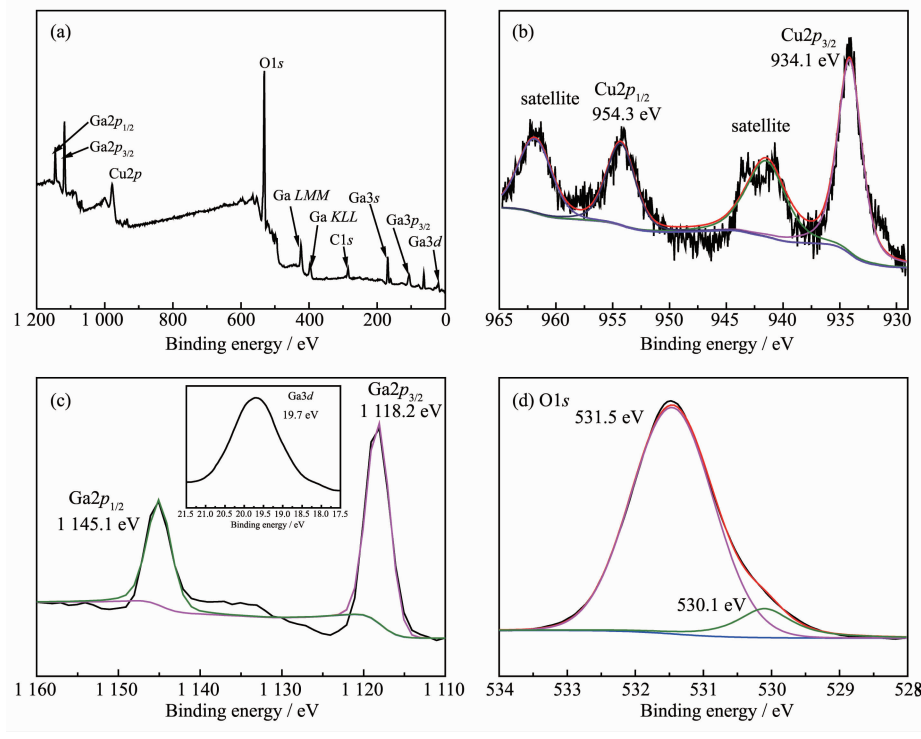
图 3 热处理温度为 600、700 和 800 ℃下的(a~c)SEM 图和(d~f)粒径分布图

Fig.3 SEM images (a~c) and diameter distribution (d~f) of CuGa<sub>2</sub>O<sub>4</sub> powders obtained from different calcination temperatures

的 CuGa<sub>2</sub>O<sub>4</sub> 纳米颗粒表面较为粗糙并且由于颗粒的团聚形成了许多孔洞,这种结构有利于气体吸附和扩散,进而提高气敏性能<sup>[9]</sup>。随着热处理温度的升高颗粒粒径逐渐增大,由于物质大部分是以聚集体的方式存在,使得团聚现象较为严重,谢乐(Scherrer)公式计算得出的单晶体平均粒径(图 2)与粒径分布图 3(d~f)相比充分展现了这一特征。

### 2.3 材料的 XPS 分析

对 800 ℃热处理得到的 CuGa<sub>2</sub>O<sub>4</sub> 粉体(pH=6.00)进行了 X 射线光电子能谱(XPS)分析,如图 4 所示。由图 4(a)可知材料是由 Cu、Ga、O 和 C 元素组成。



(a) Survey XPS spectra; (b) Cu2p; (c) Ga2p and Ga3d (inset); (d) O1s

图 4 CuGa<sub>2</sub>O<sub>4</sub> 粉体的 XPS 谱图(800 ℃, pH=6.00)

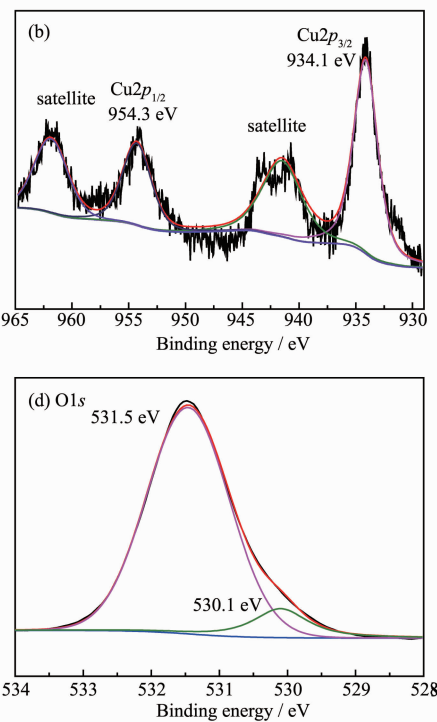
Fig.4 XPS spectra of CuGa<sub>2</sub>O<sub>4</sub> powders (800 ℃, pH=6.00)

### 2.4 元件的气敏性能

图 5 是 CuGa<sub>2</sub>O<sub>4</sub> 元件对体积分数为 1 000 μL·L<sup>-1</sup> TMA 的灵敏度变化。从图中可知,热处理温度及 pH 对元件的气敏性能影响显著。pH 值为 6.00,在 800 ℃条件下热处理 4 h 得到的样品对 TMA 有最高的灵敏度。

图 6 是纳米 CuGa<sub>2</sub>O<sub>4</sub>(800 ℃, pH=6.00)对 1 000 μL·L<sup>-1</sup> 的 TMA 等 7 种常见气体在不同工作温度下的气敏性能。由图可知,该气敏元件在室温(18±2)℃下对 TMA 有较好的选择性和灵敏度,对另外 6 种气体的灵敏度均小于 2.6。但随着工作温度的升高

图 4(b)中 Cu2p 由 4 个峰组成,峰形对称且比较窄,Cu2p<sub>1/2</sub> 和 Cu2p<sub>3/2</sub> 的峰分别位于 954.3 和 934.1 eV,所有的 Cu<sup>2+</sup>位于 CuO<sub>6</sub> 八面体位点<sup>[10]</sup>。在图 4(c)中,在 1 118.2 和 1 145.1 eV 处分别出现了 Ga2p<sub>3/2</sub> 和 Ga2p<sub>1/2</sub> 的峰,表明 Ga<sup>3+</sup>分别位于八面体和四面体位点<sup>[11]</sup>,Ga3d 的峰位于 19.7 eV(图 4(c)中的插图)。根据分峰软件,图 4(d)中 O1s 的峰可被分成 530.1 和 531.5 eV 两个峰,说明在 CuGa<sub>2</sub>O<sub>4</sub> 晶体中有晶格氧和表面化学吸附氧的存在<sup>[12-13]</sup>,CuGa<sub>2</sub>O<sub>4</sub> 晶体表面大量吸附氧的存在,有利于提高其气敏性能<sup>[14]</sup>。



灵敏度迅速地降低,这可能是由于吸附饱和引起的,当工作温度升高时,目标气体在与 CuGa<sub>2</sub>O<sub>4</sub> 表面的氧离子发生作用之前被解吸,从而使得响应降低<sup>[15]</sup>。

图 7(a)是在室温(18±2)℃下纳米 CuGa<sub>2</sub>O<sub>4</sub>(800 ℃, pH=6.00) 对不同浓度 TMA 的响应恢复特征曲线,在一定的工作条件下,气体传感器在空气中的电阻达到稳定后( $R_a$ )到接触被测气体后电阻值发生跃迁式变化并达到稳定时( $R_g$ )需要消耗时间,规定从  $R_a$  变化到 90%( $R_g - R_a$ ) 需要消耗的时间为响应时间;相同地,元件从被测气体中放入空气中后,电阻

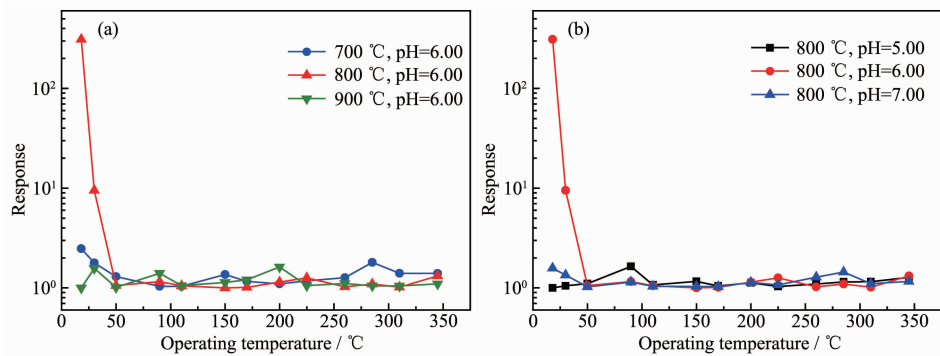


图 5 不同(a)热处理温度(pH=6.00, 4 h)和(b) pH 值(800 °C, 4 h)条件下 CuGa<sub>2</sub>O<sub>4</sub>元件对 1 000 μL·L<sup>-1</sup> TMA 的灵敏度

Fig.5 Sensitivities of CuGa<sub>2</sub>O<sub>4</sub> gas sensor to 1 000 μL·L<sup>-1</sup> TMA under different (a) calcination temperatures (4 h, pH=6.00) and (b) pH values (800 °C, 4 h)

值  $R_g$  变化到 10%( $R_g - R_a$ )的时间为恢复时间。图 7(b)更直观地反应了在室温(18±2) °C下纳米 CuGa<sub>2</sub>O<sub>4</sub>(800 °C, pH=6.00) 的响应值与 TMA 浓度的变化关

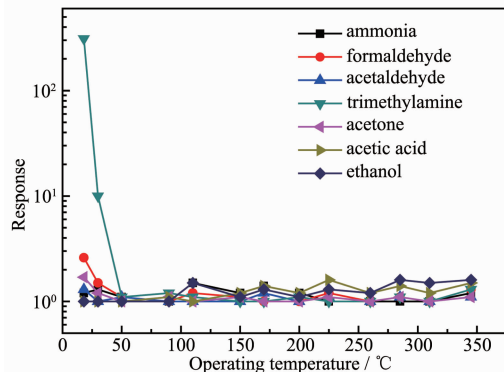


图 6 在不同工作温度下 CuGa<sub>2</sub>O<sub>4</sub>元件对 7 种 1 000 μL·L<sup>-1</sup> 气体的灵敏度(800 °C, pH=6.00)

Fig.6 Sensitivities of CuGa<sub>2</sub>O<sub>4</sub> sensor to seven kinds of 1 000 μL·L<sup>-1</sup> gases at different operating temperatures (800 °C, pH=6.00)

系。在 TMA 浓度较低时,响应值随 TMA 浓度基本呈线性增加。

由于将元件从空气中转移到气体中时电阻阻值会发生改变,导致响应值出现小于 1 的情况,如图 7(a)所示,在室温(18±2) °C下元件对 1 000 μL·L<sup>-1</sup> TMA 的灵敏度达到 310.1,响应和恢复时间分别约为 590 和 80 s,对 1 μL·L<sup>-1</sup> TMA 的灵敏度可达到 1.3。研究表明,在还原性气体氛围中 n 型半导体的阻值会降低。当传感器放置在空气中时,在纳米 CuGa<sub>2</sub>O<sub>4</sub> 表面吸附的大量氧气分子(O<sub>2(ad)</sub>)会形成 O<sub>2(ad)</sub><sup>-</sup> 和 O<sub>(ad)</sub><sup>-</sup><sup>[16-17]</sup>,随后将传感器放于还原气体(TMA)中时,其表面的 O<sub>2</sub><sup>-</sup>会与 TMA 发生反应,使得电子浓度增加,从而使 CuGa<sub>2</sub>O<sub>4</sub> 的电阻降低。具体过程可用如下反应表示:

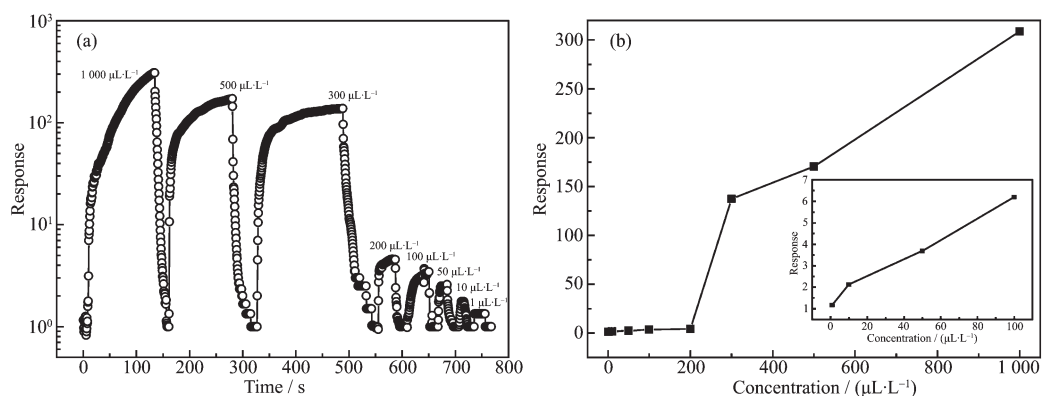
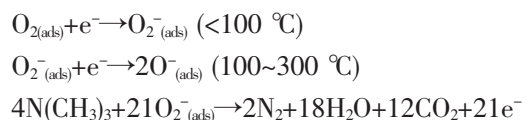


图 7 室温下(a) CuGa<sub>2</sub>O<sub>4</sub>元件(800 °C, pH=6.00)对不同浓度 TMA (μL·L<sup>-1</sup>)的响应恢复曲线; (b)元件的响应随浓度的变化曲线

Fig.7 Response-recovery (a) and response versus (b) of CuGa<sub>2</sub>O<sub>4</sub> sensor (800 °C, pH=6.00) to different concentrations (μL·L<sup>-1</sup>) of TMA at room temperature

### 3 结 论

利用共沉淀法制备的纳米镓酸铜,热处理温度和pH值对气敏性能的影响较为显著。通过X射线衍射测试可知,热处理温度影响晶体的成相。在pH=6.00,800 °C热处理4 h条件下制备的纳米CuGa<sub>2</sub>O<sub>4</sub>不仅选择性好、灵敏度高,而且还具有较低的工作温度等优势,但纳米CuGa<sub>2</sub>O<sub>4</sub>对TMA的响应和脱附时间较长,有待进一步的优化。

### 参考文献:

- [1] XU Jia-Qiang(徐甲强), LIU Zhao-Hong(刘照红), WANG Huan-Xin(王焕新), et al. *Journal of Functional Materials and Devices*(功能材料与器件学报), **2004**,**10**(3):387-390
- [2] Singh A, Singh A, Singh S, et al. *J. Alloys Compd.*, **2015**,**618**:475-483
- [3] Rao P, Godbole R V, Bhagwat S. *Mater. Chem. Phys.*, **2016**,**171**:260-266
- [4] Chu X F, Wang J L, Bai L S, et al. *Sens. Actuators B*, **2018**,**255**:2058-2065
- [5] Chen C, Li G, Liu Y. *Powder Technol.*, **2015**,**281**:7-11
- [6] Satyanarayana L, Reddy C V G, Manorama S V, et al. *Sens. Actuators B*, **1998**,**46**(1):1-7
- [7] Biswas S K, Sarkar A, Pathak A, et al. *Talanta*, **2010**,**81**(4):1607-1612
- [8] XU Hui-Qing(徐会青), LIU Quan-Jie(刘全杰), JIA Li-Ming(贾立明), et al. *CN Pattern*, 1951823. 2007-04-25.
- [9] Wang S M, Cao J, Cui W, et al. *Sens. Actuators B*, **2018**,**255**:159-165
- [10] Chen H, Li G D, Fan M, et al. *Sens. Actuators B*, **2017**,**240**:689-696
- [11] Chu X F, Wang J L, Bai L S, et al. *Mater. Sci. Eng., B*, **2018**,**228**:45-51
- [12] Wang Y L, Liu J, Cui X B, et al. *Sens. Actuators B*, **2017**,**238**:473-481
- [13] Gao L P, Ren F M, Cheng Z X, et al. *CrystEngComm*, **2015**,**17**(17):3268-3276
- [14] Dong C, Liu X, Xiao X, et al. *J. Mater. Chem. A*, **2014**,**2**(47):20089-20095
- [15] Tshabalala Z P, Shingange K, Cummings F R, et al. *J. Colloid Interface Sci.*, **2017**,**504**:371-386
- [16] Macak J M, Aldabergerova S, Ghicov A, et al. *Phys. Status Solidi*, **2010**,**203**(10):R67-R69
- [17] Regonini D, Jaroenworaluck A, Stevens R, et al. *Surf. Interface Anal.*, **2010**,**42**(3):139-144